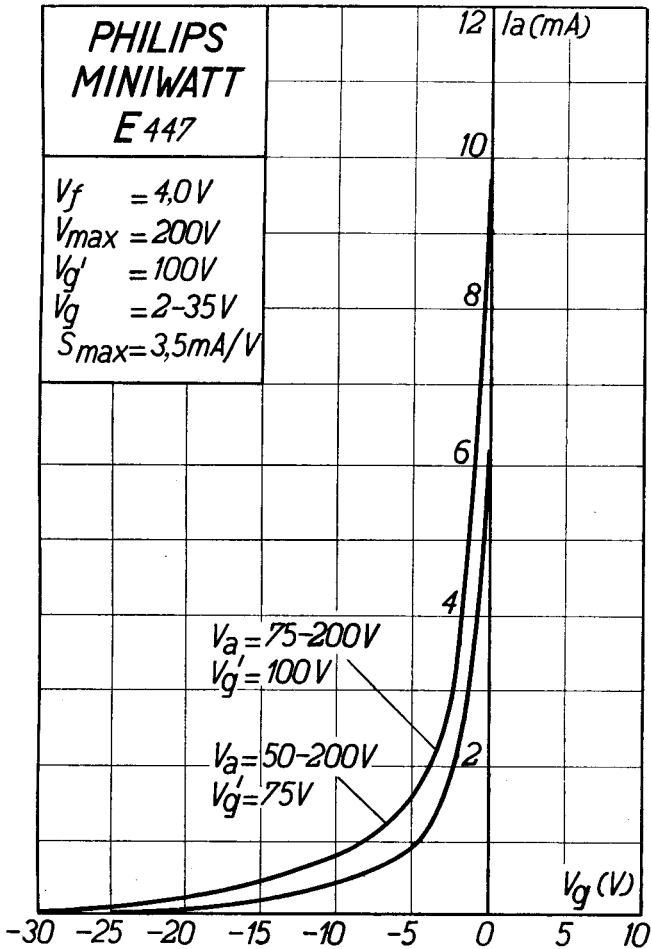


Heizspannung	v_f	= 4,0 V
Tension de chauffage		ca.
Filament voltage		ca.
Heizstrom	i_f	= env. 1,1 mA
Courant de chauffage		appr.
Filament current		
Anodenspannung	v_a	= 200 V
Tension anodique		
Anode voltage		
Schirmgitterspannung	v_g	= 100 V
Tension de grille-écran		
Screen-grid voltage		
Normaler Anodenstrom	i_a	ca.
Courant anodique normal		= env. 4,5 mA
Normal anode current		appr.
($vg = -2$ V)		
Normaler Anodenstrom	i_a	ca.
Courant anodique normal		= env. 0,01 mA
Normal anode current		appr.
($vg = -35$ V)		
Verstärkungsfaktor	$g(k)$	= 2000
Coefficient d'amplification		
Amplification factor		
Steilheit (max.)	$S_{\text{max.}}$	= 3,5 mA/V
Inclinaison (max.)		
Slope (max.)		
Steilheit	S	= 2 mA/V
Inclinaison		
Slope		
($vg = -2$ V)		
Steilheit	S	= 0,005 mA/V
Inclinaison		
Slope		
($vg = -35$ V)		
Innerer Widerstand (norm.)	R_i	= 1 M.Ohm
Résistance intérieure (norm.)		
Internal resistance (norm.)		
($vg = -2$ V)		
Innerer Widerstand (norm.)	R_i	> 10 M.Ohm
Résistance intérieure (norm.)		
Internal resistance (norm.)		
($vg = -35$ V)		
Anoden-Gitterkapazität	C_{ag}	= 0,002 $\mu\mu\text{F}$
Capacité grille-plaque		
Anode-grid capacity		
Max. Länge	l	= 138 mm
Longueur max.		
Overall length		
Grösster Durchmesser	d	= 51 mm
Diamètre max.		
Max. diameter		
Sockel		= 0 35
Culot		
Base		
Sockelschaltung		= S XVI
Connexion du culot		
Base connection		
Anwendung: H.F.-Verstärkung		Z.F.-Verstärkung
Applications: Amplification h.f.		Amplification m.f.
Function: H.F. amplification		I.F. amplification

PHILIPS
MINIWATT
E 447

$V_f = 4,0V$
 $V_{max} = 200V$
 $V_{g'} = 100V$
 $V_g = -2-35V$
 $S_{max} = 3,5mA/V$

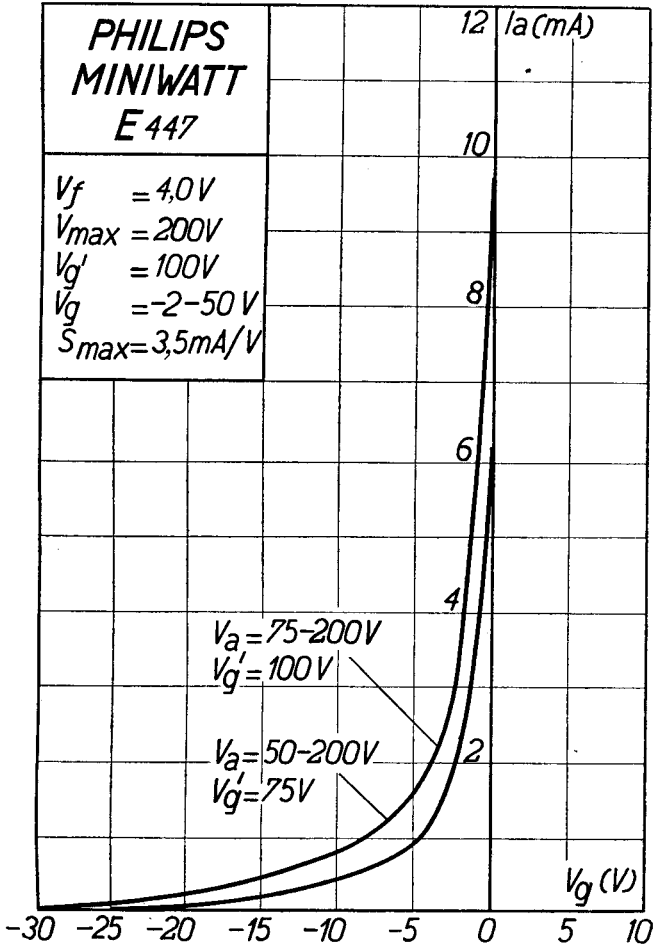


PHILIPS „MINIWATT“ E 447

Heizspannung	V_f	= 4,0 V
Tension de chauffage		
Filament voltage		
Heizstrom	I_f	ca.
Courant de chauffage		= env. 1,1 A
Filament current		appr.
Anodenspannung	V_a	= 200 V
Tension anodique		
Anode voltage		
Schirmgitterspannung	$V_g/$	= 100 V
Tension de grille-écran		
Screen-grid voltage		
Normaler Anodenstrom	I_a	= 4,5 mA
Courant anodique normal		
Normal anode current		
(vg = ca. env. appr. -2 V)		
Normaler Anodenstrom	I_a	= 0,01 mA
Courant anodique normal		
Normal anode current		
(vg = ca. env. appr. -50 V)		
Verstärkungsfaktor	$g(k)$	= 2000
Coefficient d'amplification		
Amplification factor		
Steilheit (max.)	$S_{\max.}$	= 3,5 mA/V
Inclinaison (max.)		
Slope (max.)		
Steilheit	S	= 2,3 mA/V
Inclinaison		
Slope		
(vg = ca. env. appr. -2 V)		
Steilheit	S	= 0,002 mA/V
Inclinaison		
Slope		
(vg = ca. env. appr. -50 V)		
Innerer Widerstand (norm.)	R_i	= 1 M.Ohm
Résistance intérieure (norm.)		
Internal resistance (norm.)		
(vg = ca. env. appr. -2 V)		
Innerer Widerstand (norm.)	R_i	> 10 M.Ohm
Résistance intérieure (norm.)		
Internal resistance (norm.)		
(vg = ca. env. appr. -50 V)		
Anoden-Gitterkapazität	C_{ag}	= 0,002 $\mu\mu F$
Capacité grille-plaque		
Anode-grid capacity		
Max. Länge	l	= 138 mm
Longueur max.		
Overall length		
Grösster Durchmesser	d	= 51 mm
Diamètre max.		
Max. diameter		
Sockel		
Culot		= 0 35
Base		
Sockelschaltung		
Connexion du culot		= S XVI
Base connection		
Anwendung:	H.F.-Verstärkung	Z.F.-Verstärkung
Applications:	Amplification h.f.	Amplification m.f.
Function:	H.F. amplification	I.F. amplification

PHILIPS
MINIWATT
E447

$V_f = 4,0V$
 $V_{max} = 200V$
 $V_{g'} = 100V$
 $V_g = -2-50V$
 $S_{max} = 3,5mA/V$

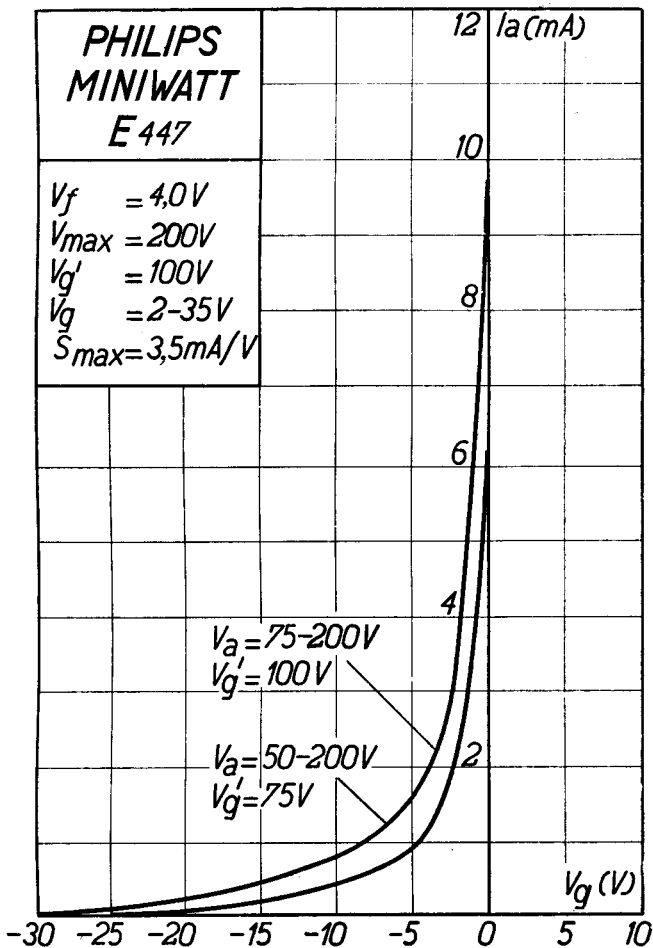


PHILIPS „MINIWATT“ E 447

Heizspannung	V_f	= 4,0 V
Tension de chauffage		ca.
Filament voltage		env. 1,1 A
Heizstrom		appr.
Courant de chauffage	I_f	
Filament current		
Anodenspannung	V_a	= 200 V
Tension anodique		
Anode voltage		
Schirmgitterspannung	V_g^l	= 100 V
Tension de grille-écran		
Screen-grid voltage		
Normaler Anodenstrom		ca.
Courant anodique normal	I_a	= env. 4,5 mA
Normal anode current		appr.
($V_g = -2$ V)		
Normaler Anodenstrom		ca.
Courant anodique normal	I_a	= env. 0,01 mA
Normal anode current		appr.
($V_g = -35$ V)		
Verstärkungsfaktor	$g(k)$	= 2000
Coefficient d'amplification		
Amplification factor		
Steilheit (max.)	$S_{\max.}$	= 3,5 mA/V
Inclinaison (max.)		
Slope (max.)		
Steilheit	S	= 2 mA/V
Inclinaison		
Slope		
($V_g = -2$ V)		
Steilheit	S	= 0,005 mA/V
Inclinaison		
Slope		
($V_g = -35$ V)		
Innerer Widerstand (norm.)	R_i	= 1 M.Ohm
Résistance intérieure (norm.)		
Internal resistance (norm.)	R_i	
($V_g = -2$ V)		
Innerer Widerstand (norm.)	R_i	> 10 M.Ohm
Résistance intérieure (norm.)		
Internal resistance (norm.)	R_i	
($V_g = -35$ V)		
Anoden-Gitterkapazität	C_{ag}	= 0,002 $\mu\mu F$
Capacité grille-plaque		
Anode-grid capacity		
Max. Länge	l	= 138 mm
Longueur max.		
Overall length		
Grösster Durchmesser	d	= 51 m
Diamètre max.		
Max. diameter		
Sockel		= 0 35
Culot		
Base		
Sockelschaltung		= S XVI
Connexion du culot		
Base connection		
Anwendung: H.F.-Verstärkung	$Z.F.-Verstärkung$	
Applications: Amplification h.f.	Amplification m.f.	
Function: H.F. amplification	I.F. amplification	

PHILIPS
MINIWATT
E447

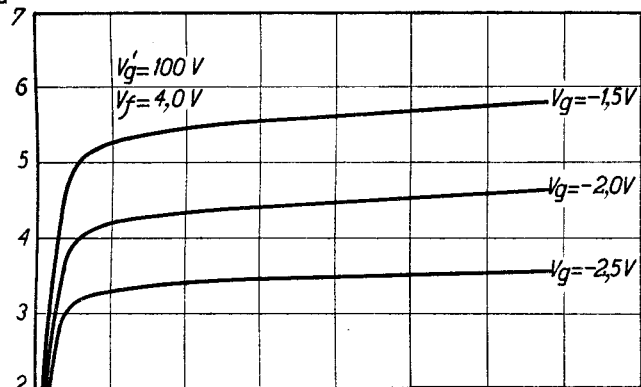
$V_f = 4,0V$
 $V_{max} = 200V$
 $V_{g'} = 100V$
 $V_g = -2-35V$
 $S_{max} = 3,5mA/V$



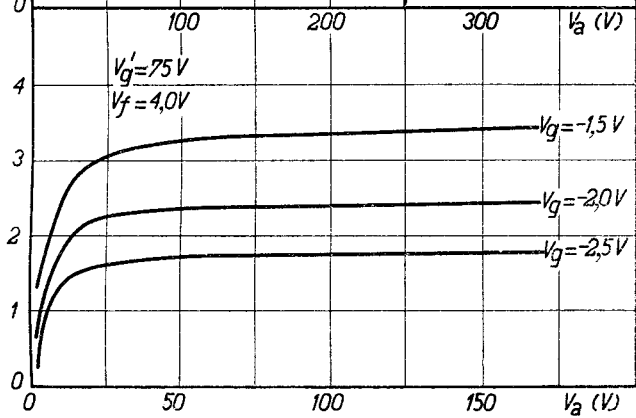
PHILIPS „MINIWATT“

Max. Anodenspannung	V_{ao}	= 400 V
Tension anodique max.	V_{aR}	= 250 V
Max. anode voltage	V_{aL}	= 200 V
Max. Anodenbelastung	W_a	= 1,5 W
Dissipation anodique max.		
Max. anode dissipation		
Max. Kathodenstrom	I_c	= 10 mA
Courant cathodique max.		
Max. cathode current		
Max. Schirmgitterspannung	$V_{g^I_0}$	= 400 V
Tension de grille-écran max.		= 1,5 x Va
Max. screen-grid voltage	V_g^I	max. 125 V
Max. Schirmgitterbelastung	W_g^I	= 0,3 W
Dissipation de grille-écran max.		
Max. screen-grid dissipation		
Mittlerer Schirmgitterstrom	I_g^I	= 1,9 mA
Courant de grille-écran moyen		
Average screen-grid current		
Ungefähr Grenzw. des Schirmgitterstr.	I_g^I	min. = 1,3 mA
Limites approxim. du cour. de gr. écran		= 2,5 mA
Approx. limits of screen-grid current		
Gitterstrom-Einsatzpunkt	V_{gi}	= -1,3 V
Point de commenc. du courant de grille		
Starting point of grid current		
Max. Widerstand im Gitterkreis	R_{g1}	= 4 M.Ohm
Résistance max. dans le circuit de grille		
Max. resistance in grid circuit		
Max. Spann. zwischen Faden und Kath.	V_{fc}	= 80 V
Tension max. entre filament et cathode		
Max. voltage between filam. and cathode		
Max. Widerst. zwischen Faden und Kath.	R_{fc}	= 20000 Ohm
Résist. max. entre filament et cathode		
Max. resist. betw. filament and cathode		
Kapazitäten	C_g	= 12,5 $\mu\mu$ F
Capacités	C_u	= 10,2 $\mu\mu$ F
Capacities	C_{ag}	\leq 0,006 $\mu\mu$ F

I_a (mA)



PHILIPS
MINIWATT
E447



PHILIPS „MINIWATT“

Max. Anodenspannung	V_{ao}	= 400 V
Tension anodique max.	V^{aR}	= 250 V
Max. anode voltage	V_{aL}	= 200 V
Max. Anodenbelastung	W_a	= 1,5 W
Dissipation anodique max.		
Max. anode dissipation		
Max. Kathodenstrom	I_c	= 10 mA
Courant cathodique max.		
Max. cathode current		
Max. Schirmgitterspannung	$V_g^J o$	= 400 V
Tension de grille-écran max.		
Max. screen-grid voltage	V_g^J	= 1,5 x V_a max. 150 V
Max. Schirmgitterbelastung	W_g^J	= 0,3 W
Dissipation de grille-écran max.		
Max. screen-grid dissipation		
Mittlerer Schirmgitterstrom	I_g^J	= 1,8 mA
Courant de grille-écran moyen		
Average screen-grid current		
Ungefähr Grenzw. des Schirmgitterstr.	I_g^J min.	= 1 mA
Limites approxim. du cour. de gr.-écran		
Approx. limits of screen-grid current	I_g^J max.	= 2,6 mA
Gitterstrom-Einsatzpunkt	V_{gi}	= -1,3 V
Point de commenc. du courant de grille		
Starting point of grid current		
Max. Widerstand im Gitterkreis	R_{g1}	= 4 M.Ohm
Résistance max. dans le circuit de grille		
Max. resistance in grid circuit		
Max. Spann. zwischen Faden und Kath.	V_{fc}	= 80 V
Tension max. entre filament et cathode		
Max. voltage between filam. and cathode		
Max. Widerst. zwischen Faden und Kath.	R_{fc}	= 20000 Ohm
Résist. max. entre filament et cathode		
Max. resist. betw. filament and cathode		
Kapazitäten	C_g	= 12,5 $\mu\mu$ F
Capacités	C_a	= 9,9 $\mu\mu$ F
Capacities	C_{ag}	= 0,002 $\mu\mu$ F

I_a (mA)

